

## (討24) 低炭素鋼の焼入時効と復元現象

北海道大学工学部金属化学会研 ○竹山太郎 松坂 雄  
山田 浩

## 1. 序論

鉄中の炭素の析出する挙動は、鉄鋼の最も基本的な重要な問題の一つである。一般に析出過程は、 $\epsilon$ 炭化物から安定 $\gamma$ -メニタイトへ変るものとして知られている。時効によって析出する最初の炭化物は、電子顕微鏡で観察すると、{100}面に板状に析出する崩壊した析出相で、周囲には、整合歪によるコントラストが認められるが、制限視野電子回折像では、同定されない。安定析出相に到る2段の析出過程の中間に復元現象が考えられる。

復元現象は、時効性合を低温時効させた後、溶解度曲線以下の高温時効温度で、短時間加熱することによって、その合金が焼入れたときの状態にまで復帰する現象である。

鉄合金の復元現象については、Geller et al.<sup>(1)</sup>やNacken et al.<sup>(2)</sup>等によって、焼入時効した合金や焼入れ後12.2%の歪を与えた後、時効させた合金について、それぞれ研究がなされて、非鉄合金と同様に、復元現象が認められることが明らかにされた。

本研究では、復元処理によって再固溶する条件、過程を明らかにすることによりFe-C系合金の時効析出過程、析出相の安定度、析出相と転位との相互作用など時効による変化を観察した結果について報告する。

用いた試料は、Johnson & Matthey (J.M.) の純鉄と、市販リムド鋼である。その分析成分はTable 1

Table 1 試料化学組成 (単位 wt%)

組成	C	Mn	Si	S	Al	P	N	Fe
J.M.鉄	0.03	0.0002	0.0003	-	0.0001	-	0.01	bal.
リムド鋼	0.042	0.34	tr.	0.014	0.001	0.016	0.0018	bal.

に示す。試料は圧延して $0.5\text{mm} \times 3\text{mm} \times 30\text{mm}$ の大きさの試験片を作成した。この試験片を不透明石英管中に真空にして封じ込み、溶体化処理後 $0^\circ\text{C}$ の氷水中に焼入れた後、時効による変化は硬度および電子顕微鏡によって観察した。

## 2. J.M.鉄

i. 焼入時効 アルゴン $0^\circ\text{C}$ で30分間溶体化処理した後、カプセルのまま水焼入れした試料について $30\sim100^\circ\text{C}$ の温湿度範囲で時効した場合、硬度変化は、いずれも顕著でないが、析出物は時効とともに{100}面上に大きく成長する。また転位線上の優先析出を認められる。Fig. 1は、 $30^\circ\text{C}$ で8日間、Fig. 2は $60^\circ\text{C}$ で35時間時効した組織を示す。ともに析出相は{100}面上に析出する準安定相であ

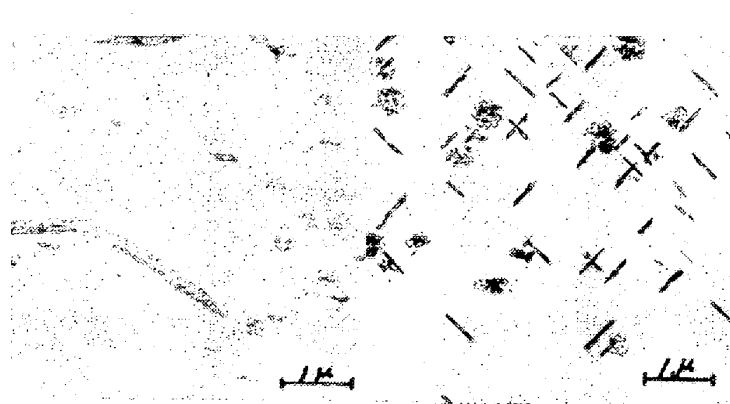


Fig. 1



Fig. 2

る。これらの析出相は、 $200^{\circ}\text{C}$ で短時間の復元処理を行なっても、再固溶しない。なお、 $30\sim60^{\circ}\text{C}$ のごとき低温度で時効した場合、その時効初期の段階において、復元処理を試みたが、明瞭な結果は得られなかつた。

ii. 焼入れ直後時効  $730^{\circ}\text{C}$ より焼入れした後直ちに、4%の引張り歪を与え、 $30\sim100^{\circ}\text{C}$ で時効して試料の時効硬化曲線をFig.3に示す。この時効硬化過程を電子顕微鏡で観察すると、時効とともに微細な析出物が、転位線上にも、母晶子内にも析出してくる。Fig.4は、 $100^{\circ}\text{C}$ で20分時効した場合の典型的な転位線上の優先析出を示したものである。この状態は、最高硬化時のもので、転位線上の優先析出とともに、母晶子内にも多くの析出物が認められる。この析出相は $\{110\}$ 面に析出する安定析出相と異なり、 $\{100\}$ 面上に析出している。 $30\sim100^{\circ}\text{C}$ を充分時効した試料に $200^{\circ}\text{C}$ で20秒間の復元処理を行うと、母晶子内の析出も、転位線上の優先析出もすべて再固溶する。したがって、転位線は細くなり、硬度も軟化して、焼入れ直後直をえた状態にもどる。Fig.5は、 $100^{\circ}\text{C}$ 20分時効した試料の復元後の組織を示す。この復元処理を行つた試料は再時効硬化能を有し、繰返し数回の時効・復元が可能である。なお、 $200^{\circ}\text{C}$ で20分時効した試料は、Fig.6に示すごとく、転位線上に沿つた優先析出は認められず、複雑な網状コントラストを示す板状析出物が、母晶子上に析出しているのが観察される。

### 3. リムド鋼

i. 時効硬化  $690^{\circ}\text{C}$ で30分間溶体化処理した後カプセルを割つて焼入れし、ただちに $30\sim100^{\circ}\text{C}$ の間で焼入れ時効を行つたりムド鋼の時効硬化曲線をFig.7に示す。硬化は、 $30\sim60^{\circ}\text{C}$ の間で顕著に認められる。 $30^{\circ}\text{C}$ 時効の場合、10時間後より次第に硬化し、250~300時間で最高硬化状態を示し、その後、時効による硬化はほとんどない。 $60^{\circ}\text{C}$ 時効の場合には、焼入れ後次第に硬化し、4時間で急激な上昇を示し、約20時間で最高硬度に達した後、徐々に軟化している。この硬化は2段の時効過程を示すものと考えられる。両者の到達最

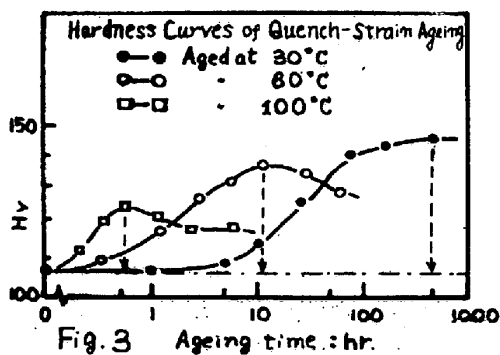


Fig. 3 Ageing time : hr.

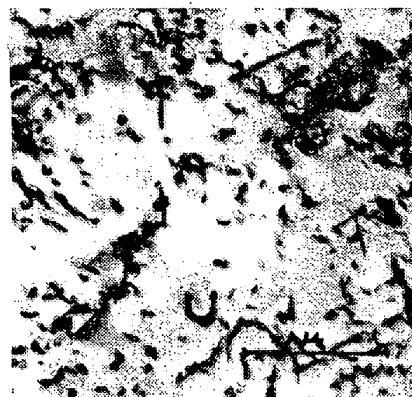


Fig. 4

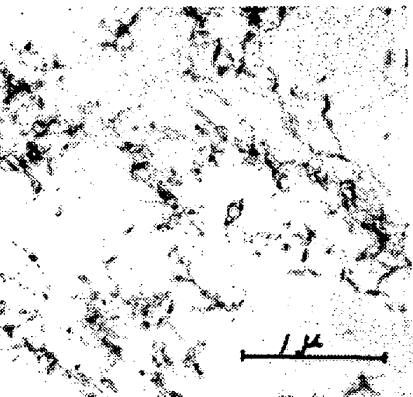


Fig. 5

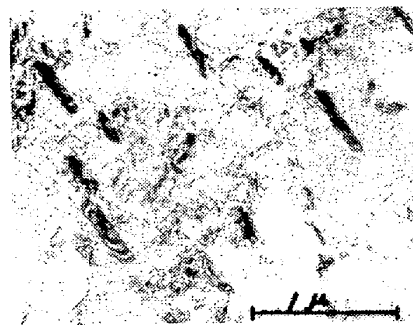


Fig. 6

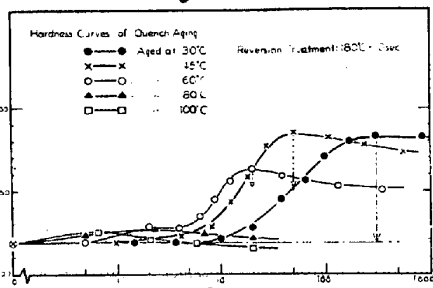


Fig. 7

高硬度を比較すると、焼入れ直後はピッカース硬度119を示したものが、30°C時効の場合では、183、60°C時効の場合では、162を示した。

電子顕微鏡観察では、焼入れ直後、析出はほとんど認められないが、30°Cで300時間時効した最高硬化状態では、非常に微細な析出物が試料全面に均一に分散し、その数は $2 \times 10^{15}/\text{cm}^2$ 並である。60°C時効では、Fig.8に示すごとく、観察される析出物は、次第に成長し、20時間時効の最高硬化状態では、{100}面に析出した板状析出物は、約900Åの大きさにまで達している。しかし、50時間時効した試料では、大きな板状析出物はすべて消失し、微細な100~300Å程度の析出物が均一に析出している。その後、時効による析出物の成長は余り顕著ではない。

ii. 復元処理 30°Cで時効硬化した試料は、Fig.9に示すごとく、160~200°Cの範囲の温度で短時間衝撃的な熱処理を行うと、硬度は完全に元の焼入れ直後の値にまで軟化する。

復元した試料の電子顕微鏡観察では、微細な析出物は完全に消滅し、焼入れ直後と同様の組織を示す。この復元した試料は、同様に再時効硬化能を有し、Fig.10に示すごとく、時効・復元サイクルでは、時効時間、到達硬度値は、ほぼ同じであるが、図を重ねるに従って、最高硬度値も、復元率も次第に減少している。これは、180°Cで10秒間の復元処理を繰返すことによって、180°C時効による析出物が次第に増加するためである。

Fig.9に示す硬度が焼入れ直後の値まで戻る最少保持時間( $\log t$ )を復元処理温度( $1/T$ )に対してプロットし、その傾斜から、復元の活性化エネルギーを求め、6500 cal/molを得た。

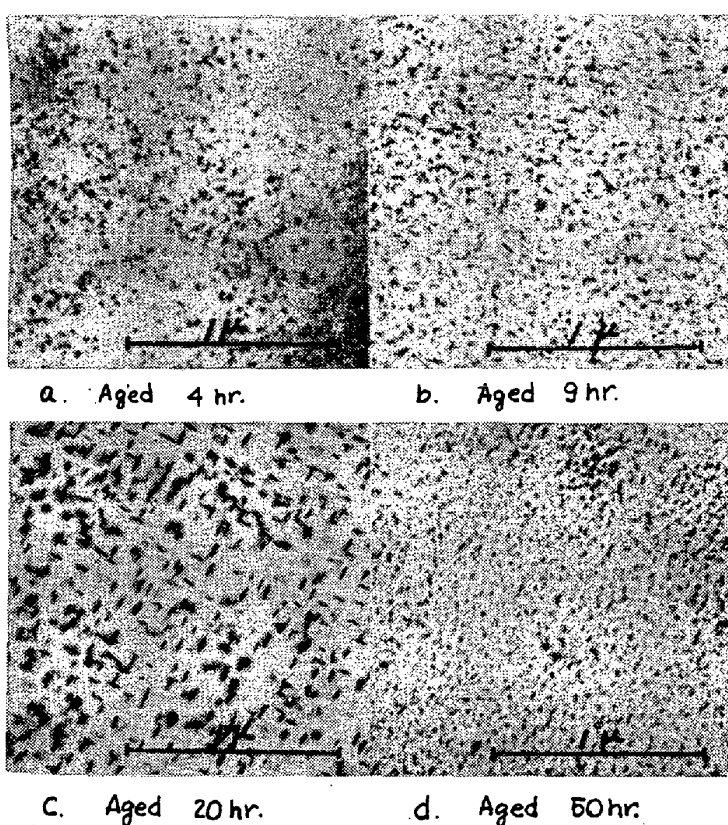


Fig. 8

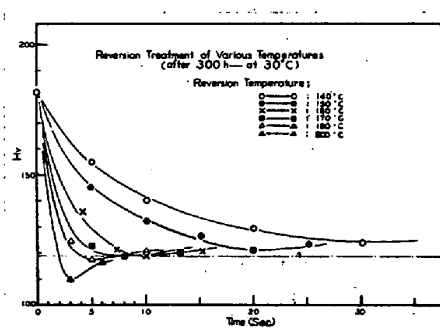


Fig. 9

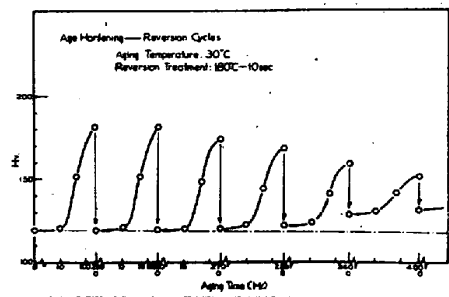


Fig. 10

Figure 11 consists of two graphs. The top graph, titled "Hardness and Reversion Curves", plots Hardness (Hv) on the y-axis (0 to 300) against Aging Time (Hr.) on the x-axis (0 to 1000). It shows two curves: a "Hardness Curve" at 60°C (open circles) which remains relatively flat around 100 Hv until ~100 hrs, then rises to ~150 Hv; and a "Reversion Curve" at 180°C-10Sec (solid line) which rises sharply from ~100 Hv to ~280 Hv within the first 10 hours. A legend indicates: Hardness Curve: ○ at 60°C, Reversion Curve: — at 180°C-10Sec, Reversion Treatment: (1) 180°C-10Sec, (2) 200°C-10Sec. The bottom graph, Fig. 12, shows four electron micrographs labeled a, b, c, and d, corresponding to aging times of 4, 9, 20, and 50 hours respectively. Each micrograph shows a field of view with scale bars of 1 μm. The micrographs illustrate the evolution of precipitates over time.

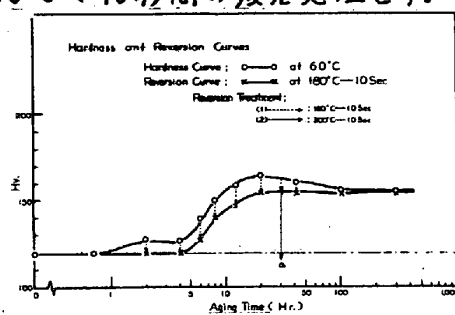
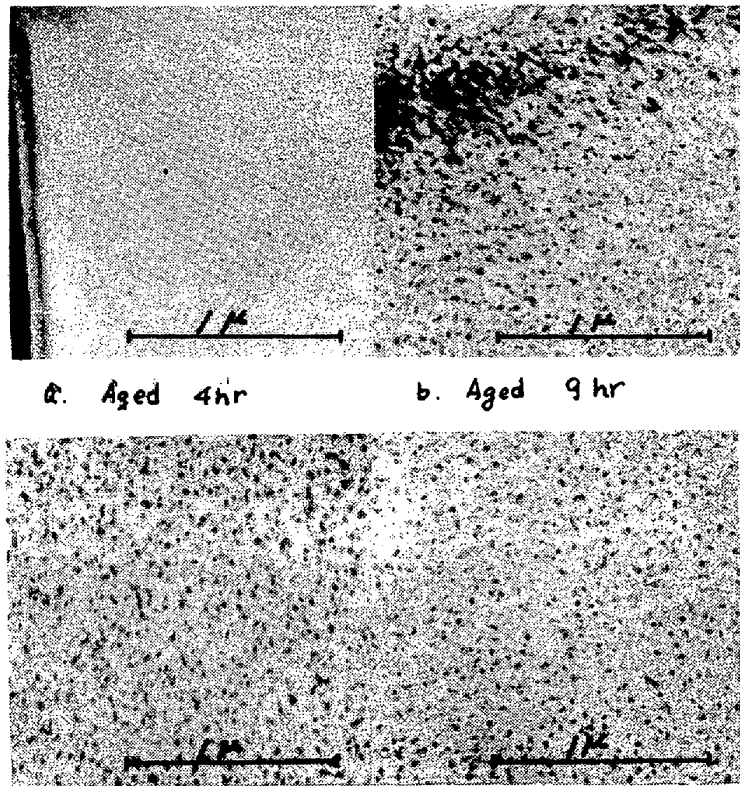


Fig. 11



### Fig. 12 Bayesian Treatment

かけ上筋生物が最大の状態で最高 Fig.12 Reversion Treatment  
硬化を示すごとく考えられるが実際には、歯釉より安定な筋生物が、すぐに筋出  
して、硬化に寄与していることが復元処理によって、明らかにされた。

以上、乙種の鋼について、復元によって時効・析出の変化を観察した。Fe-C合金では、焼入時効の場合、復元は認められない。(2)、焼入れ後、巻を与えて時効した試料は、復元処理によって、転位線上、ならびに母材子内の析出物も、すべて固溶する。両者の関係は、まだ明らかでない。

リムド鋼の焼入時効では、 $30^{\circ}\text{C}$ で時効した場合は、完全に復元するが、 $60^{\circ}\text{C}$ で時効した場合は、乙種の耐食性をもつことを明らかにした。鋼の時効においては、不純物、および  
硝子欠陥の存在は、微細な耐食性に対して、大きな影響を与えている。

<sup>2</sup> Prof. Dr. W. Geller et al., Z. Metallk., 40 (1949) 16; M. Nacken et al., Arch. Eisenh., 29 (1958) 235.